

<b>Zeitschrift:</b>	Bulletin des Schweizerischen Elektrotechnischen Vereins, des Verbandes Schweizerischer Elektrizitätsunternehmen = Bulletin de l'Association suisse des électriciens, de l'Association des entreprises électriques suisses
<b>Herausgeber:</b>	Schweizerischer Elektrotechnischer Verein ; Verband Schweizerischer Elektrizitätsunternehmen
<b>Band:</b>	66 (1975)
<b>Heft:</b>	24
<b>Artikel:</b>	Oberschwingungsanalyse in der elektrischen Energietechnik
<b>Autor:</b>	Weiler, J.
<b>DOI:</b>	<a href="https://doi.org/10.5169/seals-915333">https://doi.org/10.5169/seals-915333</a>

### Nutzungsbedingungen

Die ETH-Bibliothek ist die Anbieterin der digitalisierten Zeitschriften auf E-Periodica. Sie besitzt keine Urheberrechte an den Zeitschriften und ist nicht verantwortlich für deren Inhalte. Die Rechte liegen in der Regel bei den Herausgebern beziehungsweise den externen Rechteinhabern. Das Veröffentlichen von Bildern in Print- und Online-Publikationen sowie auf Social Media-Kanälen oder Webseiten ist nur mit vorheriger Genehmigung der Rechteinhaber erlaubt. [Mehr erfahren](#)

### Conditions d'utilisation

L'ETH Library est le fournisseur des revues numérisées. Elle ne détient aucun droit d'auteur sur les revues et n'est pas responsable de leur contenu. En règle générale, les droits sont détenus par les éditeurs ou les détenteurs de droits externes. La reproduction d'images dans des publications imprimées ou en ligne ainsi que sur des canaux de médias sociaux ou des sites web n'est autorisée qu'avec l'accord préalable des détenteurs des droits. [En savoir plus](#)

### Terms of use

The ETH Library is the provider of the digitised journals. It does not own any copyrights to the journals and is not responsible for their content. The rights usually lie with the publishers or the external rights holders. Publishing images in print and online publications, as well as on social media channels or websites, is only permitted with the prior consent of the rights holders. [Find out more](#)

**Download PDF:** 29.01.2026

**ETH-Bibliothek Zürich, E-Periodica, <https://www.e-periodica.ch>**

# Oberschwingungsanalyse in der elektrischen Energietechnik<sup>1)</sup>

Von J. Weiler

Die stetige Zunahme nichtlinearer Verbraucher in den elektrischen Energiennetzen bewirkt eine Verzerrung sowohl des Netztromes als auch der Netzspannung, welche andere Verbraucher oder benachbarte Anlagen der Informationsübermittlung stören kann. Im vorliegenden Artikel soll dem Energietechniker, der sich mit der Messung dieser Verzerrungen konfrontiert sieht, ein Überblick über die möglichen Messverfahren und die dabei zu beachtenden Fehlerquellen gegeben werden.

621.317.353

L'accroissement continual du nombre de consommateurs d'énergie électrique à caractéristique nonlinéaire provoque une déformation de la forme d'onde et du courant et de la tension du réseau, déformation qui peut influencer d'autres systèmes. Afin de pouvoir pallier à ces effets, une surveillance étroite des harmoniques du réseau est nécessaire. L'article présent donne un aperçu des méthodes de mesure possibles ainsi que des sources d'erreurs.

## 1. Einleitung und theoretische Grundlagen

Signalanalyse, Frequenzanalyse, Oberwellen..., sind Begriffe, welche bis vor nicht allzulanger Zeit eher zum Wortschatz der Nachrichtentechniker als der Energietechniker gehörten, konnte doch in Energieübertragungssystemen immer von einer weitgehend sinusförmigen Kurvenform von Strom und Spannung ausgegangen werden. Die Zunahme von nichtlinearen Verbrauchern, insbesondere der Einsatz von Verfahren der Energielektronik sowohl in der Industrie als auch im Haushalt hat nun dazu geführt, dass die Kurvenform des Stromes sich immer weiter von der idealen Sinusform entfernt. Damit wird über die Netzimpedanz auch die Kurvenform der Spannung verzerrt, was wiederum Rückwirkungen auf andere Verbraucher haben kann.

Zur Untersuchung dieser störenden Einflüsse ist es günstig, nicht mehr den zeitlichen Verlauf der verzerrten Ströme und Spannungen, sondern ihre Zerlegung in Frequenzkomponenten mit zeitlich nicht oder nur sehr langsam variierender Amplitude

<sup>1)</sup> Nach einem Vortrag, gehalten am 12. November 1975, im Rahmen der Seminare des Institutes für Automatik und Industrielle Elektronik der ETHZ.

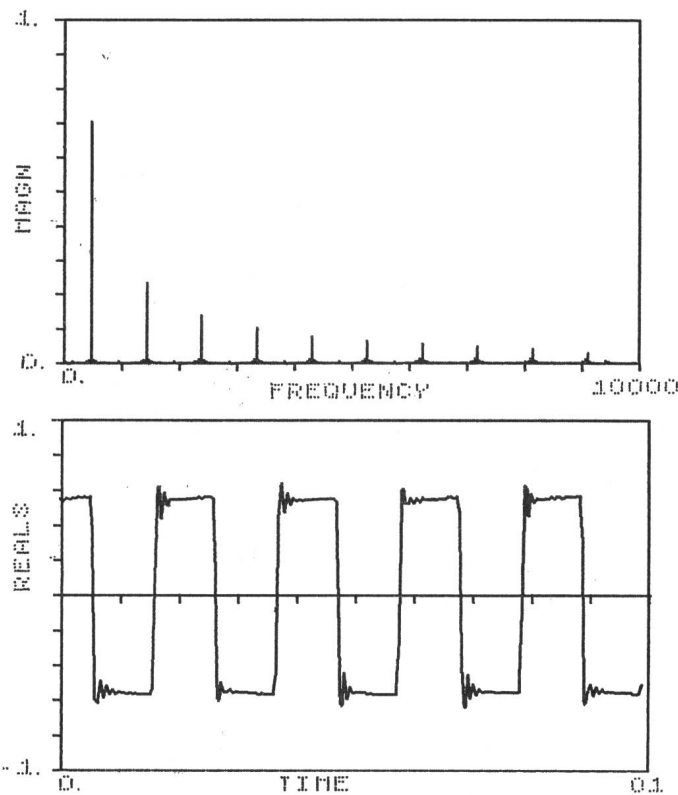


Fig. 1 Korrespondenz Frequenzbereich-Zeitbereich; Amplitudenspektrum (Magn) und daraus rekonstruierter zeitlicher Vorgang (Reals)

heranzuziehen. Solange die beeinflussten Systeme als linear oder linearisiert angesehen werden können, kann dann der Einfluss der verzerrten Kurvenformen durch Superposition der Einflüsse der einzelnen sinusförmigen Komponenten ermittelt werden.

Die Zerlegung in die einzelnen Komponenten kann theoretisch einfach mit Hilfe der klassischen Fourierzerlegung einer periodischen Funktion  $f(t)$  vorgenommen werden:

$$f(t) = F_0 + \sum_{n=1}^{\infty} A_n \cos n\omega_1 t + \sum_{n=1}^{\infty} B_n \sin n\omega_1 t \quad (1a)$$

$$= F_0 + \sum_{n=1}^{\infty} C_n \cos(n\omega_1 t + \varphi_n) \quad (1b)$$

Darin ist  $\omega_1$  die Grundkreisfrequenz  $2\pi/T_1 = 2\pi f_1$  der periodischen Funktion  $f(t)$  mit der Periode  $T_1$  bzw. der Grundfrequenz  $f_1$ . Die Komponenten  $A_n$  und  $B_n$  bzw.  $C_n$  und  $\varphi_n$  bestimmen sich aus der Transformationsgleichung

$$A_n = \frac{2}{T_1} \int_0^{T_1} f(t) \cos n\omega_1 t \, dt \quad (2a)$$

$$B_n = \frac{2}{T_1} \int_0^{T_1} f(t) \sin n\omega_1 t \, dt \quad (2b)$$

$$C_n = \sqrt{A_n^2 + B_n^2}, \quad \varphi_n = \arctan \frac{B_n}{A_n} \quad (2c)$$

$F_0$  ist der lineare Mittelwert, d. h. das Gleichstromglied,

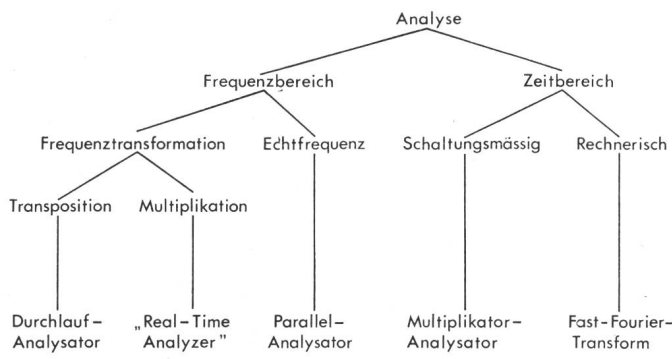
$$F_0 = \frac{1}{T_1} \int_0^{T_1} f(t) \, dt \quad (2d)$$

In Fig. 1 ist eine solche Zerlegung nach den Gl. (2) bzw. eine Synthese nach den Gl. (1) am Beispiel einer Rechteckfunktion der Grundfrequenz  $f_1 = 500$  Hz dargestellt: oben die Zerlegung in die Komponenten  $C_n$ , unten die Addition gemäß Gl. (1). Trotzdem nur 10 Komponenten  $C_n$  berücksichtigt wurden, ergibt sich schon eine sehr gute Übereinstimmung zwischen der Originalzeitfunktion und der aus der Fourierzerlegung rekonstruierten.

In den meisten Fällen liegt nun aber  $f(t)$  nicht in analytischer Form, sondern als analoges Meßsignal, z. B. als Netztrom oder daraus abgeleitete Shunt-Spannung, vor, wobei von diesem Signal die Fourierzerlegung gewünscht wird. Es müssen also Messgeräte verwendet werden, welche die Transformation Zeitfunktion → Fourierkomponenten («Spektrum») vornehmen. Hierzu bieten sich zwei grundsätzliche Methoden an:

- im Frequenzbereich: Ausblenden aller Frequenzen bis auf eine Frequenz  $f_n$ , Messung der Amplitude oder des Effek-

Tabelle I



tivwertes des dann noch verbleibenden sinusförmigen Signals (Filterung);

– im Zeitbereich: direkte Anwendung der Gl. (2)

Aufwandmäßig ist bei Anwendung klassischer Techniken die Filterung in allen Fällen günstiger, so dass sie am weitesten verbreitet ist. Einen Nachteil haben allerdings alle Filterverfahren: mit ihnen lässt sich nur  $C_n$ , d.h. der Betrag der Amplitude der Oberwelle, nicht aber die Phasenlage  $\varphi_n$  bestimmen. Die direkte Anwendung der Gl. (2) wird im allgemeinen erst durch den Einsatz modernster elektronischer Hilfsmittel realisierbar.

Eine systematische Morphologie der möglichen Verfahren führt zu der in Tabelle I gegebenen Aufstellung über die realisierbaren Analyseprinzipien. Die verschiedenen Verfahren werden nun im folgenden kurz beschrieben und vor allem auf ihre Einsatzmöglichkeiten in der Energietechnik untersucht.

## 2. Analyse im Frequenzbereich (Filterverfahren)

Das Grundprinzip aller Filterverfahren ist in Fig. 2 dargestellt: Vom zu messenden Spektrum werden alle Frequenzen bis auf ein schmales Band  $\Delta f$  um die zu analysierende Frequenz  $f_n$  mit einem Filter ausgeblendet. Die dann noch verbleibende Restspannung wird gemessen und als Effektivwert von  $C_n$  der Frequenz  $f_n$  zugeordnet.

Dieses Verfahren lässt sich auch anders interpretieren: Grundsätzlich muss die im Frequenzband  $\Delta f$  enthaltene Leistung, bezogen auf  $1 \Omega$ , gemessen werden. Diese kann als Leistung einer sinusförmigen Grösse der Frequenz  $f_n$  betrachtet werden, und entsprechend wird der Effektivwert der Komponente  $C_n$  durch Halbierung und Radizierung erhalten. Eine andere Möglichkeit besteht darin, die gemessene bezogene Leistung durch die Filterbreite  $\Delta f$  zu dividieren und als Leistungsdichte (z. B.  $V^2/Hz$ ) der Frequenz  $f_n$  zuzuordnen; dies ist allerdings nur bei kontinuierlichen Spektren, und nicht bei den diskreten Linienspektren der Energietechnik sinnvoll.

Mit diesen Überlegungen lassen sich nun die Anforderungen an das Filter formulieren:

- Die Filterbreite  $\Delta f$  soll möglichst klein sein, damit tatsächlich nur die Leistung einer einzigen Frequenzlinie erfasst wird
- Die Filterflanken müssen aus dem gleichen Grund möglichst steil sein, damit Beiträge benachbarter Frequenzen möglichst stark gedämpft werden
- Im Durchlassbereich soll die Filtercharakteristik möglichst flach sein, damit die ganze Filterbreite  $\Delta f$  gleich gewichtet wird

Diese Bedingungen lassen sich in ihrer Gesamtheit praktisch nur mit Quarzfiltern und damit bei relativ hohen Frequenzen (ab ca. 50 kHz) genügend gut erfüllen, mit klassischen

Filtern nur angenähert und lediglich für eine gegebene Frequenz  $f_n$ .

Damit sind auch die in Tabelle I angegebenen Verfahren verständlich: entweder verwendet man ein fix abgestimmtes Filter und bringt durch Kunstgriffe das zu analysierende Frequenzband ( $1 \cdot f_1 \dots n f_1$ ) in den Durchlassbereich des Filters oder man verwendet verschiedene Filter, welche auf entsprechend unterschiedliche Mittelfrequenzen abgestimmt sind. Diese verschiedenen Prinzipien sollen nun anhand ihrer Blockschemata und der zugehörigen Darstellung im Frequenzbereich erläutert werden.

### 2.1 Parallelanalysator

Das Blockschaltbild des Parallelanalysators ist in Fig. 3a angegeben: Das zu analysierende Signal  $f(t)$  wird simultan einer ganzen Anzahl fest abgestimmter Filter (Mittelfrequenzen  $f_1, f_2 \dots f_n$ ) zugeführt und am Ausgang jedes dieser Filter der Effektivwert, der dann die Frequenzlinie  $C(f_n)$  gibt, gemessen. In Fig. 3b ist dieses Verfahren im Frequenzbereich dargestellt: Das ganze zu analysierende Spektrum muss im Idealfall lückenlos, mit möglichst steilflankigen Filtern (hier ein Filter pro zu erwartende Oberwelle) abgedeckt werden.

Damit ist auch schon das Hauptproblem dieses Analysatortyps für Anwendungen in der Energietechnik aufgezeigt: Oberwellen können hier im Abstand der Grundfrequenz  $f_1$ , also z. B. alle 50 Hz oder alle  $16^{2/3}$  Hz auftreten. Möchte man Spektrallinien bis zu einer Amplitude von  $1/1000$  der Grundwelle erfassen, so müssen für ein rechteckförmiges Signal Komponenten bis zur tausendsten Oberwelle (also bis  $n = 1000$ ) entsprechend 1000 Filtern einbezogen werden. Auch wenn man für praktische Fälle die Grenzfrequenz der zu erfassenden Oberwellen auf 1000...2000 Hz ( $f_1 = 50$  Hz) reduziert und berücksichtigt, dass im allgemeinen nur ungeradzahlige Oberwellen auftreten sollen, so sind immerhin noch 20 Filter im Abstand von 100 Hz notwendig. Dies erklärt, weshalb der Parallelanalysator trotz seiner unbestreitbaren Vorteile (insbesondere simultanes Vorliegen aller Oberwellen) in der Energietechnik keine Verwendung findet. Sein Hauptanwendungsbereich liegt in der Akustik, da dort die Filterabstände nicht konstant sind, sondern proportional zur Mittelfrequenz (Oktave, Terz usw.) variieren.

### 2.2 Durchlaufanalysator

Dem Durchlaufanalysator liegt das Prinzip zugrunde, dass nur ein fest abgestimmtes Filter der Mittelfrequenz verwendet wird, in dessen Durchlassbereich das zu analysierende Spek-

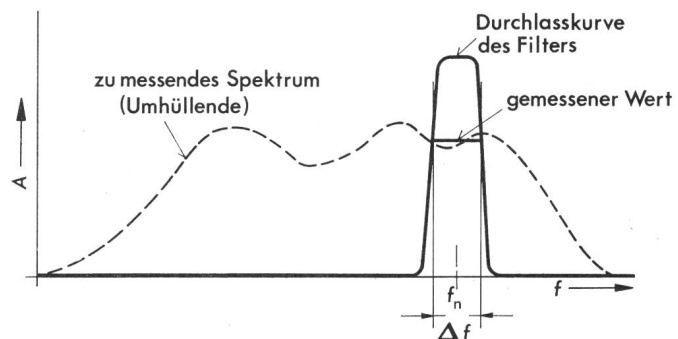


Fig. 2 Prinzip des Filterverfahrens zur Frequenzanalyse

$f_n$  zu analysierende Frequenz  
 $\Delta f$  Filterbandbreite  
 $A$  Amplitude

trum sukzessive transponiert wird, wie im Blockschaltbild Fig. 4a angegeben.

Die Transposition geschieht in einem Modulator, in welchem das zu analysierende Signal  $f(t)$  mit einem Hilfssignal (Trägersignal) der Frequenz  $f_H$  multipliziert wird. Gemäss den Gesetzen der Modulationstheorie entsteht dann, z. B. bei einem sinusförmigen Hilfssignal, ein transponiertes Spektrum, das als Frequenzen die Summe ( $f_H + f_n$ ) und die Differenz ( $f_H - f_n$ ) von Trägerfrequenz und Originalsignal  $f(t)$  enthält. Durch Variation von  $f_H$  kann damit, wie in Fig. 4b für zwei Fälle angegeben ist, jede Frequenzlinie des Grundsignals sukzessive auf eine transponierte Frequenz, entsprechend der Mittelfrequenz  $f_0$  des Filters, gebracht und somit gemessen werden.

Eines der Hauptprobleme beim Durchlaufanalysator ist die Messzeit  $T_M$ , welche benötigt wird, um ein gegebenes Spektrum der Breite  $D$  (Differenz zwischen höchster und niedrigster Analysefrequenz) mit einer gegebenen Filterbreite  $\Delta f$  zu mes-

sen. Hierzu muss zuerst das transiente Verhalten eines Filters untersucht werden. Wie man aus Fig. 5 ersieht, wächst mit abnehmender Durchlassbreite  $\Delta f$  die Zeit  $t_E$ , die vergeht, bis das Filter eine angelegte Spannung der Durchlassfrequenz in voller Amplitude durchlässt, ungefähr umgekehrt proportional zu  $\Delta f$ :  $t_E \approx 1/\Delta f$ . Andererseits muss die Analysebreite in  $D/\Delta f$ -Segmente unterteilt werden, so dass für die Messzeit  $T_M$  die Faustformel folgt:

$$T_M \geq D/(\Delta f)^2$$

Ein weiteres Problem resultiert aus der bei den meisten für Netzfrequenz noch brauchbaren Analysatoren verwendeten relativ hohen Filterfrequenz  $f_0$ , die immer oberhalb 100 kHz (gewöhnlich 1 MHz) liegt. Schon kleinste prozentuale Schwankungen (insbesondere durch thermische Driften) können schnell eine scheinbare Verschiebung um einige 50 Hz bewirken und damit eine dauernde Nacheichung des Gerätes notwendig machen.

### 2.3 «Real-Time Analyzer»

Eng verwandt mit dem Durchlaufanalysator ist der sogenannte «Real-Time Analyzer», der die Analyse niederfrequenter Signale in wesentlich kürzerer Zeit durchführen kann. Sein Prinzip ist in Fig. 6a angedeutet: Das zu analysierende Signal  $f(t)$  wird im Ablauf um den Faktor  $k$  beschleunigt. Dies geschieht bei ausgeführten Geräten durch Speicherung und beschleunigte Wiedergabe eines Abschnittes (einige Perioden) des Signals. Dadurch wird die Periode  $T_1$  auf  $T_1/k$  erniedrigt, die Frequenz  $f_1$  auf  $k \cdot f_1$  vergrößert (Übergang von a nach b in Fig. 6b). An diese Frequenzmultiplikation schliesst sich nun z. B. eine Durchlaufanalyse gemäss 2.2 an, die bei gleicher Auflösung  $D/\Delta f$  eine um  $k$  kleinere Messzeit benötigt.

Dieses vielversprechende Prinzip, welches die Einfachheit des Durchlaufanalysators mit starker Reduktion der Messzeit verbindet, wurde erst durch den Einsatz der modernen digitalen Speichertechnik sinnvoll ermöglicht: Das zu analysierende Signal wird über eine bestimmte Zeit abgetastet und digital gespeichert. Diese gespeicherten Werte werden dann wesentlich schneller wieder in eine analoge Wertfolge zurückverwandelt. Die Analyse kann mit einem fest abgestimmten Filter entweder durch Variation der Rückwandlungsgeschwindigkeit (Variation des Faktors  $k$ ) oder, bei konstanter Rückwandlungsgeschwindigkeit, mit einem konventionellen Durchlaufanalysator (Fig. 6b, Frequenzachse c) vorgenommen werden. Die Möglichkeiten der heutigen Digitaltechnik und Analog/Digitalwandlung sind dabei derart, dass die Messzeit praktisch nur durch das Einlesen des Originalsignals in den Speicher gegeben ist.

### 3. Analyse im Zeitbereich

Wie schon in der Einleitung ausgeführt, wird bei der Analyse im Zeitbereich direkt die mathematische Fourierzerlegung gemäss den Gl. (2a) und (2b) durchgeführt. Dies kann entweder schaltungstechnisch (Multiplikator-Analysator) oder rechnerisch (Fourier-Transform) geschehen.

#### 3.1 Multiplikator-Analysator

Das Prinzip des Multiplikator-Analysators ist in Fig. 7 dargestellt. Die Hauptprobleme dieses Analysators bestehen einmal in der simultanen Erzeugung der zwei um  $90^\circ$  phasenverschobenen, im Idealfall starr mit der Grundfrequenz  $f_1$  verknüpften, sinusförmigen Referenzspannungen  $\sin n\omega_1 t$  und

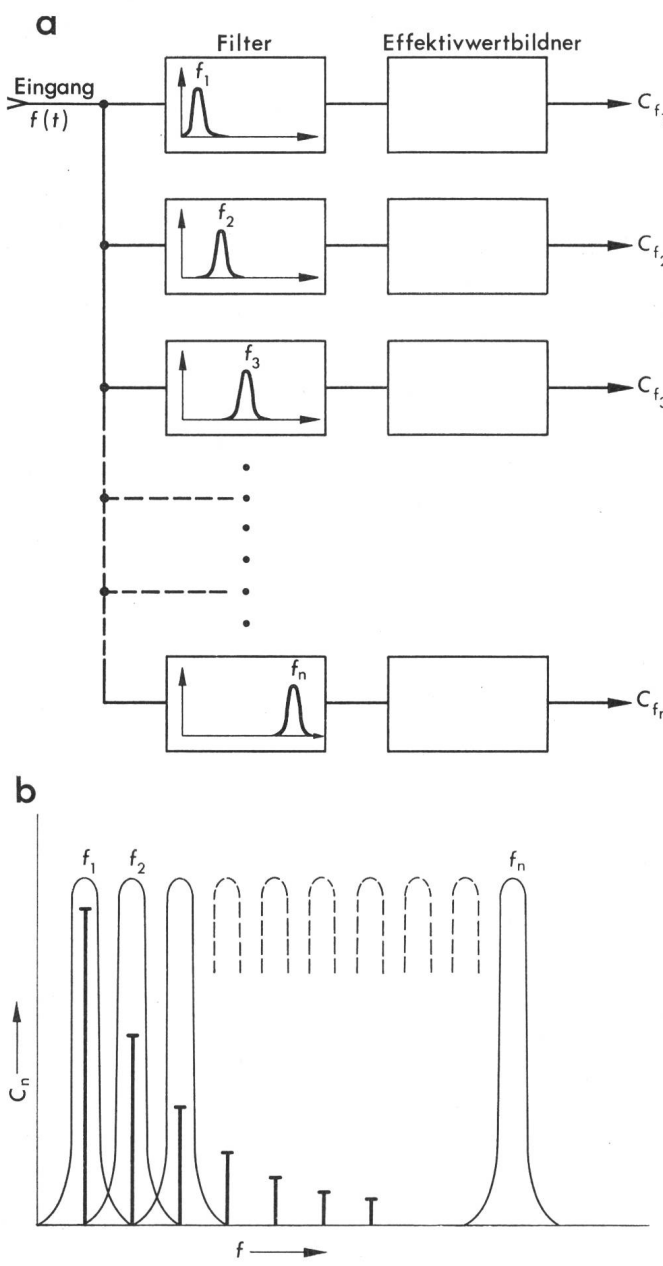


Fig. 3 Parallelanalysator: a) Blockschaltbild, b) Darstellung des Analyseprinzips mit  $n$  parallelen Filtern im Frequenzbereich  $C_{f1} \dots C_{fn}$  Amplitude der Oberwellen der Frequenz  $f_1 \dots f_n$

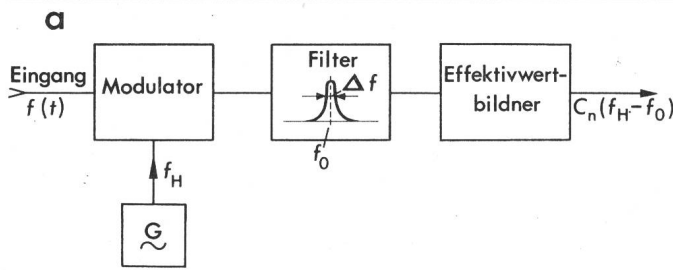
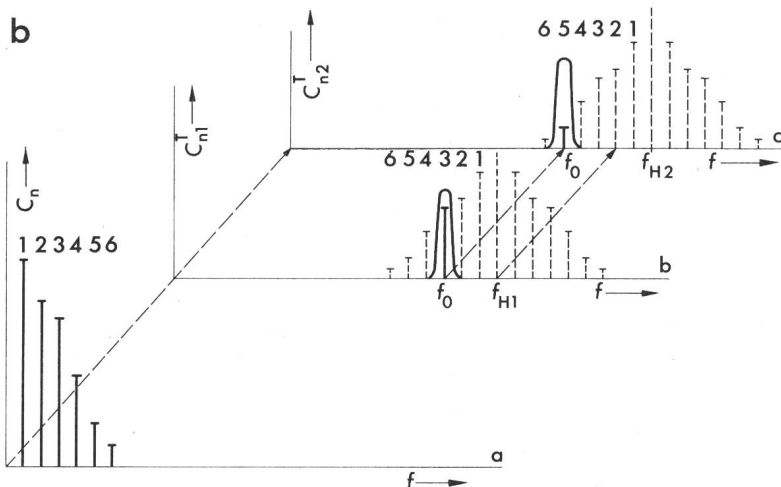


Fig. 4

Durchlaufanalysator: a) Blockschaltbild, b) Darstellung im Frequenzbereich, mit den Frequenzachsen des Originalsignals  $C_n$  (a) und den mit zwei verschiedenen Hilfsfrequenzen  $f_{H1}$  und  $f_{H2}$  (Frequenzachsen b und c) in den Durchlassbereich  $f_0$  des Filters transponierten Originalfrequenzen 3 bzw. 5



$\cos n\omega_1 t$ , zum andern in der linearen und weitgehend fehlerfreien Ausführung der Multiplikation. Dieses Verfahren wurde bereits in Prototypen ausgeführt, weist bis jetzt jedoch noch recht grosse Fehler auf und ist somit technisch noch nicht einsatzbereit.

### 3.1 Rein rechnerische Analyse

Ein Optimum an Flexibilität und Einsatzmöglichkeit bietet der computerunterstützte rechnerische Analysator, bei dem im sogenannten Fourier-Processor die mathematische Fourieranalyse durchgeführt wird. Das Prinzip ist in Fig. 8 dargestellt: Das zu analysierende Signal  $f(t)$  wird zuerst in einem Sampler (Analog/Digitalwandler) mit einer gegebenen Abtastrate

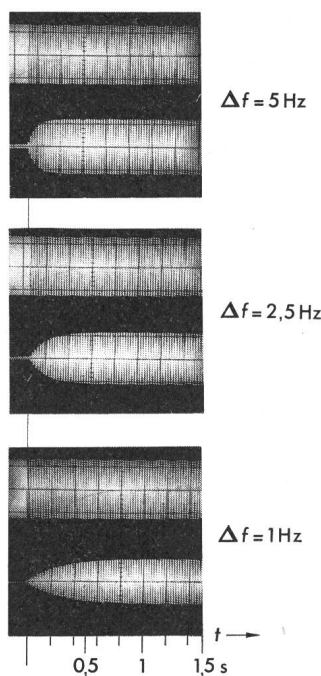


Fig. 5  
Einschwingvorgang eines Filters für ein sinusförmiges Signal im Durchlassbereich in Abhängigkeit von der Durchlassbreite  $\Delta f$ .  
Oberer Strahl: Eingangssignal,  
unterer Strahl: Ausgangssignal

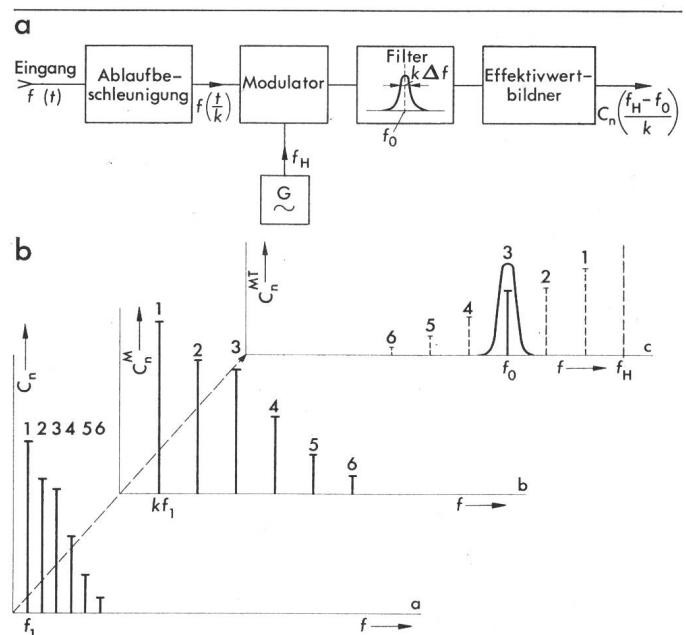


Fig. 6 «Real-Time Analyzer»: a) Blockschaltbild, b) Darstellung der Funktionsweise mit den Frequenzachsen des Originalsignals  $C_n$  (a), des um den Faktor  $k$  beschleunigten Signals (b) und des mit einer Hilfsfrequenz  $f_H$  in den Durchlassbereich des Filters ( $f_0$ ) transponierten Signals (c)

$f_s$  während einer gegebenen Zeit  $T_w$  («Fensterzeit») abgetastet, und die Werte werden gespeichert. Aus diesen Stützwerten werden dann mit Hilfe der diskreten Fouriertransformation  $N$  Koeffizienten  $A_n$  und  $B_n$  im Fourier-Processor mit einem adäquaten Rechenprogramm (gewöhnlich wird eine Fast-Fourier-Transform mit minimalem Rechenaufwand verwendet) bestimmt.

Aus der Struktur des Verfahrens und der zur Verfügung stehenden Rechenprogramme ergibt sich ein prinzipielles Problem: Die Grundperiode in der Analyse wird *nicht* vom

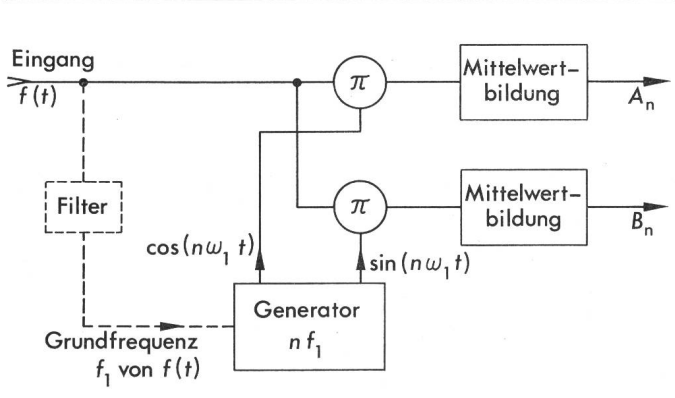


Fig. 7 Blockschaltbild des Multiplikator-Analysators  
zur schaltungstechnischen Durchführung der Fourieranalyse  
 $A_n, B_n$  Koeffizienten der Oberwellen

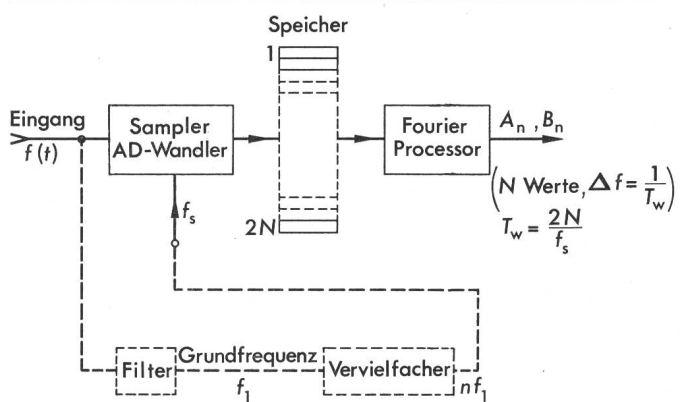


Fig. 8 Blockschaltbild eines rechnenden Analysators  
 $f_s$  Abtastfrequenz  
 $T_w$  Abtastdauer (Fensterzeit)  
 $A_n, B_n$  Koeffizienten der Oberwellen

Signal, sondern von der Fensterbreite  $T_w$ , also der Länge des abgespeicherten Signalsegments, bestimmt, desgleichen der Frequenzschnitt, der der Analysebreite  $\Delta f$  im Filterverfahren entspricht. Diese erzwungene Periodizität des Signals kann zu sehr grossen Fehlern führen, falls nicht, wie in Fig. 8 gestrichelt angedeutet, die Abtastfrequenz  $f_s$  über einen Vielfacher aus der Grundfrequenz  $f_1$  gewonnen wird. Nur auf diese Art wird auch die Fensterbreite  $T_w$  ein Vielfaches der Grundperiode  $T_1$ .

Der Hauptvorteil dieses sehr aufwendigen Verfahrens liegt darin, dass die analysierten Signale mit entsprechenden Benutzerprogrammen sehr einfach weiterverarbeitet werden können, was seine Anwendung in sehr vielen Fällen rechtfertigt.

#### 4. Zusammenfassung

Die Notwendigkeit der Frequenzanalyse in der Energietechnik kann auf Grund der zunehmenden Verzerrung der Netzspannung, hervorgerufen durch den von nichtlinearen Verbrauchern erzwungenen nichtsinusförmigen Strom, und mit Rücksicht auf die Beeinflussung anderer Verbraucher und benachbarter Installationen der Informationsübermittlung nicht mehr bestritten werden. Es stellt sich die Frage nach der Auswahl des geeigneten, d. h. dem Messproblem angepassten Messverfahrens. Wenngleich diese Auswahl von Fall zu Fall entschieden werden muss, so scheinen dem Autor drei Geräte am besten geeignet: Fourier-Transform Analyzer, Real-Time Analyzer sowie das in einem separaten Artikel in diesem Heft beschriebene neu entwickelte Gerät zur Messung diskreter

Oberwellen. Bei all diesen Geräten muss darauf geachtet werden, dass neben der Frequenzauflösung  $\Delta f$  auch die Dynamik (Amplitudenauflösung, Genauigkeit) den speziellen Anforderungen in der Energietechnik entspricht. Nicht selten werden hier zusätzliche Probleme entstehen, weil auch eine Oberwelle mit einer Amplitude von 1% der Grundwelle, absolut gesehen, recht gross sein kann und damit insbesondere Informationsanlagen beeinflussen wird.

Auch der Sicherheit im Sinne der Starkstromtechnik muss erhöhte Beachtung geschenkt werden: Elektronische Messgeräte haben häufig das metallische Gehäuse und damit die Erde als Bezugspunkt. Für eine universelle Verwendbarkeit (z. B. Messungen zwischen Phasen oder Strommessungen in einer Phase) müssen daher ausreichend spannungsfeste Isolierverstärker oder (evtl. auch gleichstromgekoppelte) Übertrager vorgesehen werden.

#### Literatur

- [1] K. G. Beauchamp: Signal processing using analog and digital techniques. London, Allen and Unwin, 1973.
- [2] E. O. Brigham: The fast Fourier transform. Hempel Hempstead, Hertfordshire, Prentice-Hall, 1974.
- [3] R. K. Otnes and L. Enochson: Digital time series analysis. New York a. o., Wiley-Interscience, 1972.
- [4] H. W. Schlüssler: Digitale Systeme zur Signalverarbeitung. Berlin/Heidelberg/New York, Springer-Verlag, 1973.
- [5] R. G. Woschni: Informationstechnik. Signal – System – Information. Berlin, VEB Verlag Technik, 1973.

#### Adresse des Autors:

Dr. sc. techn. J. Weiler, Wiss. Adjunkt, Lehrstuhl für Industrielle Elektronik und Messtechnik der ETHZ, Physikstrasse 3, 8006 Zürich.